

#### 46. Затухающие колебания.

Рассмотрим *пружинный маятник*, погруженный в вязкую среду. Считаем, что сила тяжести, сила Архимеда и сила реакции опоры компенсируют друг друга. Поэтому, мы их не будем изображать на рисунке 46.1. Трение скольжения о горизонтальную поверхность отсутствует.

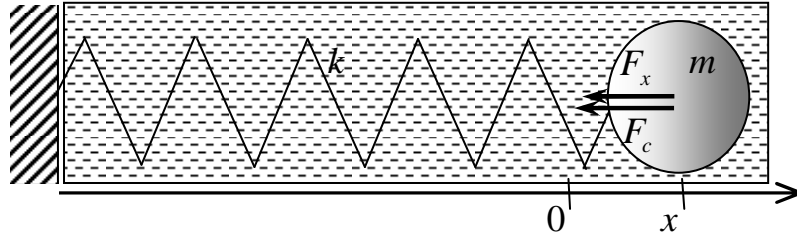


Рисунок 46.1. Пружинный маятник в вязкой среде.

На груз действует сила упругости пружины, возвращающая тело к положению равновесия. Проекция этой силы на ось  $x$  равна

$$F_x = -kx. \quad (46.1)$$

Кроме силы упругости пружины на тело действует сила сопротивления среды или сила вязкого трения, которая направлена в сторону, противоположную направлению скорости

$$F_c = cv. \quad (46.2)$$

По второму закону Ньютона  $m\vec{a} = \vec{F} + \vec{F}_c$ . Учитывая, что  $a(t) = x''(t)$ , а  $v(t) = x'(t)$ , с учетом направления сил получаем

$$mx''(t) + cx'(t) + kx(t) = 0. \quad (46.3)$$

Вводим новые обозначения

$$\beta = \frac{c}{2m}, \quad (46.4)$$

вспоминаем старое (41.4)

$$\omega_0 = \sqrt{k/m}, \quad \text{и получаем}$$

*дифференциальное уравнение затухающих колебаний* в каноническом виде

$$x''(t) + 2\beta x'(t) + \omega_0^2 x(t) = 0. \quad (46.5)$$

Решение этого уравнения будем искать в виде

$$x(t) = e^{-\beta t} y(t). \quad (46.6)$$

Сначала найдем первую производную этой функции по правилу дифференцирования произведения.

$$\begin{aligned}x'(t) &= \left(e^{-\beta t}\right)' y(t) + e^{-\beta t} y'(t); \\x'(t) &= e^{-\beta t} (y'(t) - \beta y(t)).\end{aligned}\tag{46.7}$$

Продифференцируем это выражение еще раз

$$\begin{aligned}x''(t) &= \left(e^{-\beta t}\right)' (y'(t) - \beta y(t)) + e^{-\beta t} (y'(t) - \beta y(t))' = \\&= e^{-\beta t} (-\beta y'(t) + \beta^2 y(t)) + e^{-\beta t} (y''(t) - \beta y'(t)); \\x''(t) &= e^{-\beta t} (y''(t) - 2\beta y'(t) + \beta^2 y(t)).\end{aligned}\tag{46.8}$$

Подставим выражения (46.6), (46.7) и (46.8) в уравнение (46.5)

$$\begin{aligned}e^{-\beta t} (y''(t) - 2\beta y'(t) + \beta^2 y(t)) + 2\beta \cdot e^{-\beta t} (y'(t) - \beta y(t)) + \omega_0^2 \cdot e^{-\beta t} y(t) &= 0; \\e^{-\beta t} (y''(t) - 2\beta y'(t) + \beta^2 y(t) + 2\beta y'(t) - 2\beta^2 y(t) + \omega_0^2 y(t)) &= 0; \\e^{-\beta t} (y''(t) - \beta^2 y(t) + \omega_0^2 y(t)) &= 0; \\y''(t) + (\omega_0^2 - \beta^2) y(t) &= 0.\end{aligned}\tag{46.9}$$

Введем обозначение  $\omega = \sqrt{\omega_0^2 - \beta^2}$  (46.10)

и перепишем получившееся уравнение (46.9)

$$y''(t) + \omega^2 y(t) = 0.$$

Мы снова получили уравнение (41.5), только для другой функции –  $y(t)$ . Решение такого уравнения нам уже известно

$$y(t) = A_0 \cos(\omega t + \varphi_0).$$

Подставляем эту функцию в (46.6) и получаем уравнения затухающих колебаний

$$x(t) = A_0 e^{-\beta t} \cos(\omega t + \varphi_0).\tag{46.11}$$

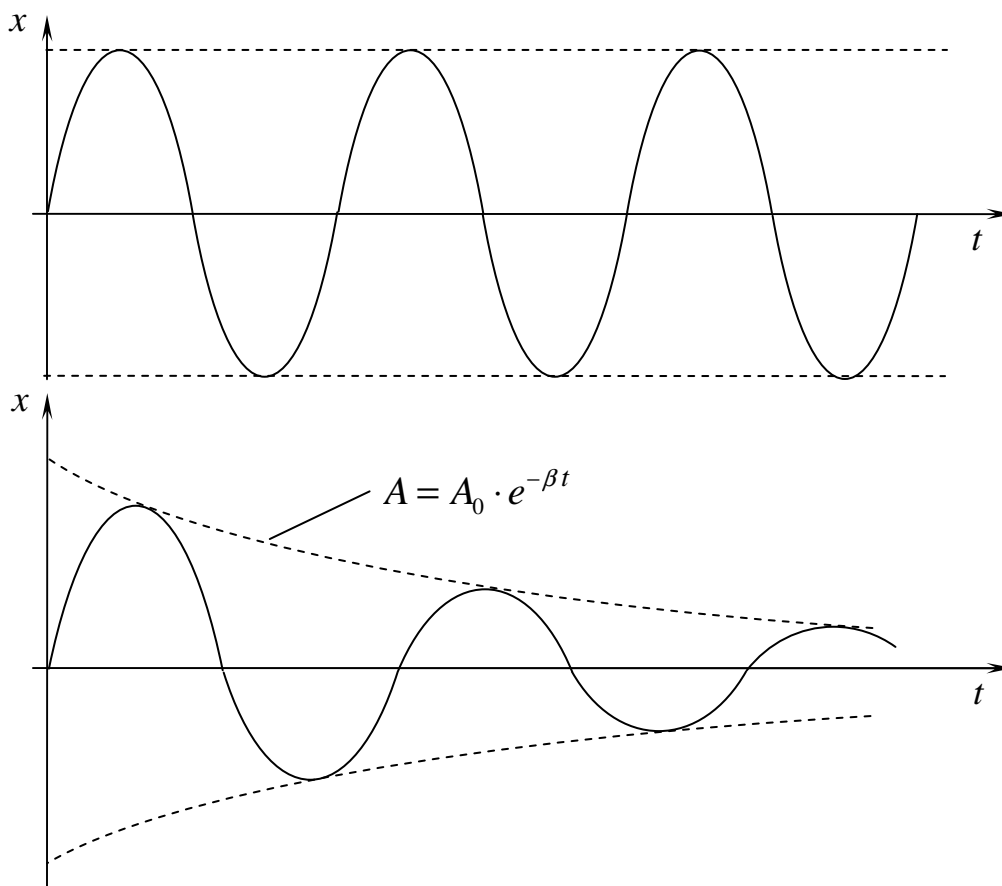
В этом уравнении  $\omega$  – частота затухающих колебаний, а  $\varphi_0$  – начальная фаза.

Произведение, стоящее перед косинусом в формуле (46.11), есть убывающая со временем амплитуда колебаний:

$$A(t) = A_0 e^{-\beta t}. \quad (46.12)$$

| Затухающие колебания не являются гармоническими.

Частота затухающих колебаний  $\omega$  меньше частоты собственных колебаний  $\omega_0$ . Это очевидно из (46.10). Соответственно, период затухающих колебаний будет больше периода собственных незатухающих гармонических колебаний. На рисунке 46.2 дано сравнение незатухающих и затухающих колебаний.



**Рисунок 46.2. Незатухающие и затухающие колебания.**

Рассмотрим функцию (46.11) и найдем отношение двух следующих друг за другом амплитуд колебаний. Натуральный логарифм такого отношения называется *логарифмическим декрементом* затухания  $\Theta$

$$\Theta = \ln \frac{A_N}{A_{N+1}}. \quad (46.13)$$

Возьмем две амплитуды в моменты времени  $t$  и  $t+T$ , и вычислим логарифмический декремент

$$\Theta = \ln \frac{A_0 \cdot e^{-\beta t}}{A_0 \cdot e^{-\beta(t+T)}} = \ln \frac{e^{-\beta t}}{e^{-\beta t} e^{-\beta T}} = \ln \frac{1}{e^{-\beta T}} = \ln e^{\beta T} = \beta T. \quad (46.14)$$

Снова обратимся к формуле (46.12) и будем в ней время отсчитывать не в секундах, а в периодах –  $t = NT$

$$A_N = A_0 e^{-\beta NT}. \quad (46.15)$$

Выберем номер  $N$  периода, при котором амплитуда колебаний уменьшится в  $e$  раз, т.е.

$$A_N = A_0 / e.$$

$$A_N = A_0 e^{-1} = A_0 e^{-\beta NT} = A_0 e^{-\Theta N}; \quad e = e^{\Theta N}; \quad \Theta N = 1.$$

Величина, обратная логарифмическому декременту, равна числу  $N$  колебаний, за время которых амплитуда уменьшится в  $e$  раз

$$N = 1/\Theta.$$

*Добротностью  $Q$  колебательной системы называется величина*

$$Q = \frac{\pi}{\Theta} = \pi N. \quad (46.16)$$

Можно сказать, что добротность – это количество колебаний, которое совершит маятник до остановки.

## 47. Вынужденные колебания. Резонанс.

Рассмотрим *пружинный маятник*, погруженный в вязкую среду. Считаем, что сила тяжести, сила Архимеда и сила реакции опоры компенсируют друг друга. Поэтому, мы их не будем изображать на рисунке 47.1. Трение скольжения о горизонтальную поверхность отсутствует.

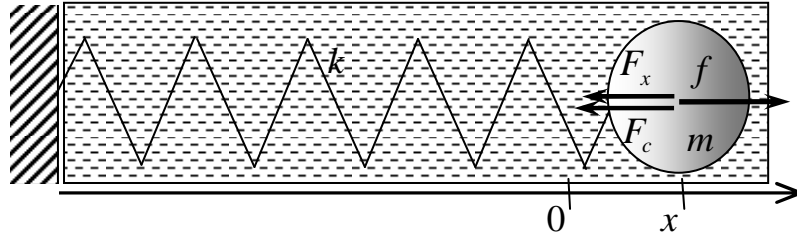


Рисунок 47.1. Пружинный маятник в вязкой среде.

На груз действует сила упругости пружины, возвращающая тело к положению равновесия. Проекция этой силы на ось  $x$  равна

$$F_x = -kx. \quad (47.1)$$

Кроме силы упругости пружины на тело действует сила сопротивления среды или сила вязкого трения, которая направлена в сторону, противоположную направлению скорости

$$F_c = cv. \quad (47.2)$$

Кроме этих двух сил, на тело действует еще внешняя *периодическая* (в рассматриваемом случае *гармоническая*) сила

$$f = f_0 \cos \omega t. \quad (47.3)$$

Применим второй закон Ньютона ко всем силам, приложенным к маятнику. Полученное выражение спроектируем на ось  $ox$ :

$$ma = -kx - cv + f_0 \cos \omega t. \quad (47.4)$$

Учтем, что  $a(t) = x''(t)$ , а  $v(t) = x'(t)$ , и перепишем получившееся уравнение

$$mx''(t) + cx'(t) + kx(t) = f_0 \cos \omega t. \quad (47.5)$$

Вводим уже знакомые обозначения  $\beta = c/2m$ ;  $\omega_0 = \sqrt{k/m}$ ; и получаем дифференциальное уравнение вынужденных колебаний в каноническом виде

$$x''(t) + 2\beta x'(t) + \omega_0^2 x(t) = (f_0/m) \cos \omega t. \quad (47.6)$$

Решение этого уравнения будем искать в виде гармонической функции на частоте вынуждающей силы  $\omega$

$$x(t) = A \cdot \cos(\omega t + \varphi_0). \quad (47.7)$$

Очевидно, что вынужденные колебания могут отставать, но не могут опережать колебания вынуждающей силы, поэтому  $\varphi_0$  отрицательно.

Воспользуемся методом векторных диаграмм, для чего перепишем дифференциальное уравнение и ожидаемо решения в комплексном виде

$$z''(t) + 2\beta z'(t) + \omega_0^2 z(t) = (f_0/m) \cos \omega t; \quad (47.6.a)$$

$$z(t) = A \cdot e^{i(\omega t + \varphi_0)}. \quad (47.7.a)$$

Найдем первую и вторую производные по времени функции (47.7.a).

$$z'(t) = i\omega A \cdot e^{i(\omega t + \varphi_0)}. \quad (47.8)$$

$$z''(t) = (i\omega)^2 A \cdot e^{i(\omega t + \varphi_0)};$$

$$z''(t) = -\omega^2 A \cdot e^{i(\omega t + \varphi_0)}. \quad (47.9)$$

Подставим  $z(t)$ ,  $z'(t)$  и  $z''(t)$  в формулу (47.6.a)

$$-\omega^2 A \cdot e^{i(\omega t + \varphi_0)} + 2i\beta\omega A \cdot e^{i(\omega t + \varphi_0)} + \omega_0^2 A \cdot e^{i(\omega t + \varphi_0)} = (f_0/m) \cos \omega t.$$

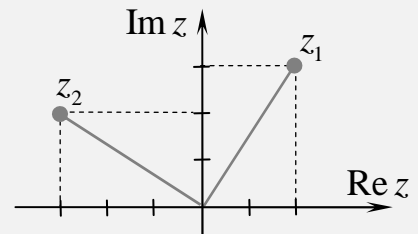
Написанное уравнение рассмотрим в момент времени  $t = 0$ .

$$-\omega^2 A \cdot e^{i\varphi_0} + 2i\beta\omega A \cdot e^{i\varphi_0} + \omega_0^2 A \cdot e^{i\varphi_0} = f_0/m.$$

Учтем при этом, что умножение комплексного числа на  $i$  сводится к повороту в комплексной плоскости на угол  $\pi/2$  против часовой стрелки.

#### Сведения из математики.

Возьмем, например, число  $z_1 = 2+3i$ , умножим его на  $i$ , получим  $z_2 = 2i-3$ . На рисунке 7.2 мы видим, что в комплексной плоскости число  $z_2$  повернуто на угол  $\pi/2$  относительно  $z_1$ .



**Рисунок 7.2.** Числа  $z_1$  и  $z_2$  на комплексной плоскости.

Умножение комплексного числа на  $-1$  сводится к повороту в комплексной плоскости на угол  $\pi$ .

$$\omega_0^2 A \cdot e^{i\varphi_0} + 2\beta\omega A \cdot e^{i(\pi/2+\varphi_0)} + \omega^2 A \cdot e^{i(\pi+\varphi_0)} = f_0/m. \quad (47.10)$$

Отложим на диаграмме, показанной на рисунке 47.3, вектор длиной  $\omega_0^2 A$  под углом  $\varphi_0$  к оси  $x$ . Не забудем, что  $\varphi_0 < 0$ . Вектор длиной  $\omega^2 A$  отложим в противоположном направлении. Вектор длиной  $2\beta\omega A$  отложим под углом  $90^\circ$ . Сумма трех этих векторов должна иметь длину  $f_0/m$  и в начальный момент времени быть направлена вдоль оси  $x$ .

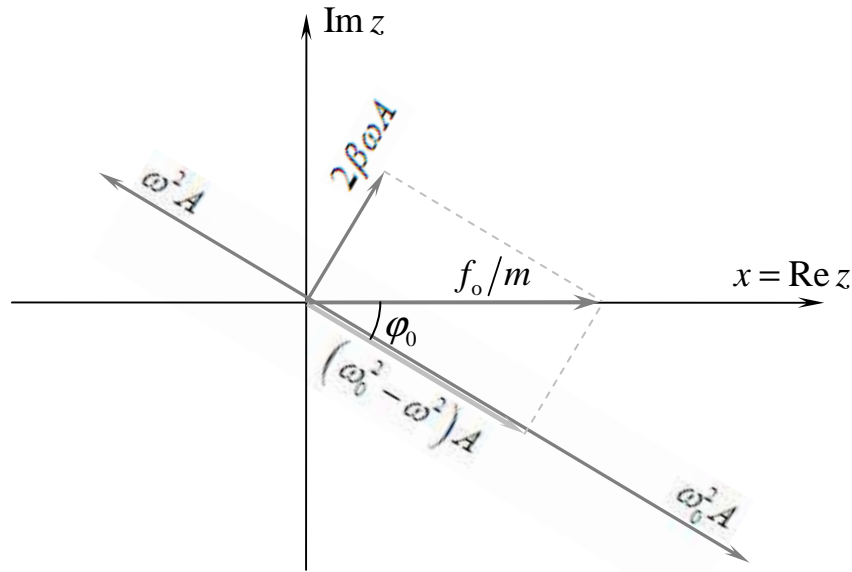


Рисунок 47.3. Векторная диаграмма для вынужденных колебаний.

Пользуясь рисунком, свяжем длины векторов и выразим амплитуду

$$(f_0/m)^2 = (\omega_0^2 - \omega^2)^2 A^2 + (2\beta\omega)^2 A^2, \Rightarrow$$

$$A = \frac{f_0/m}{\sqrt{(\omega_0^2 - \omega^2)^2 + 4\beta^2 \omega^2}}. \quad (47.11)$$

Пользуясь тем же рисунком, найдем сдвиг по фазе между колебаниями вынуждающей силы и вынужденными колебаниями маятника

$$\operatorname{tg} \varphi_0 = \frac{-2\beta\omega}{\omega_0^2 - \omega^2}. \quad (47.12)$$

Получены значения амплитуды и начальной фазы вынужденных колебаний, как функции частоты вынуждающей силы. На рисунке 47.4 приведены графики этих функций при разных значениях параметра затухания  $\beta$ . Соответствующие кривые называются резонансными.

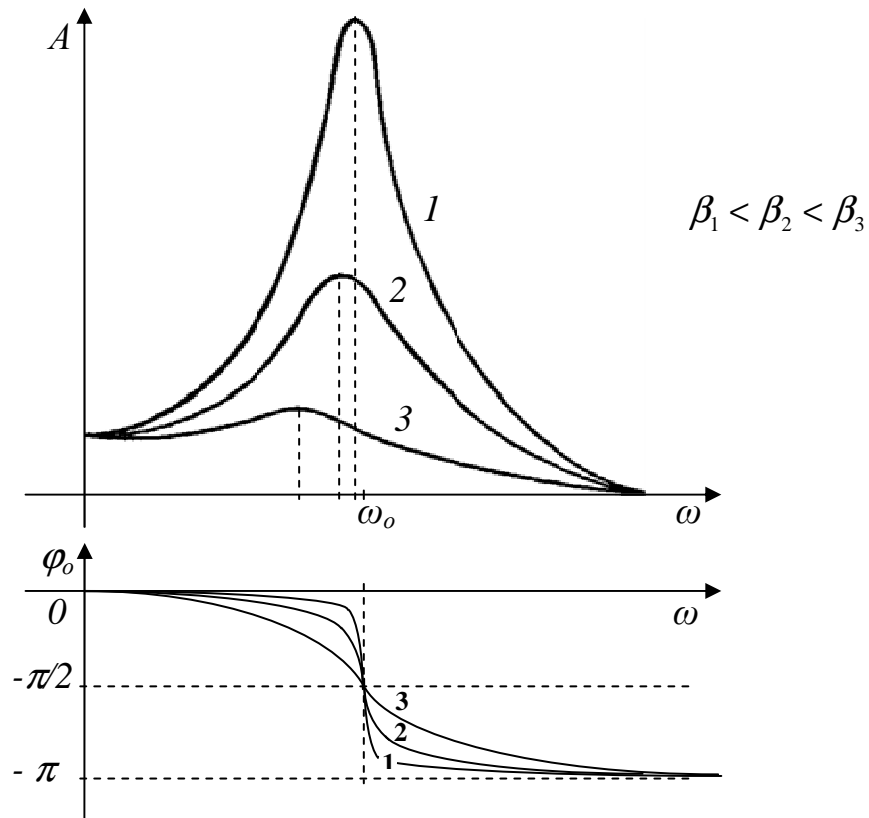


Рисунок 47.4. Резонансные кривые.

Функция  $A(\omega)$  имеет максимум при частотах, близких к  $\omega_0$ , немного меньших  $\omega_0$ . Чем меньше коэффициент затухания  $\beta$ , тем острее выражен пик на зависимости.

Явление резкого возрастания амплитуды колебаний при частотах, близких к частоте собственных колебаний  $\omega_0$  называется *резонансом*.

Формула (47.11) имеет максимум при минимуме знаменателя, а знаменатель, в свою очередь имеет минимум при минимуме подкоренного выражения. Берем производную этого выражения по  $\omega$  и приравниваем ее нулю.

$$\begin{aligned} \left( (\omega_0^2 - \omega^2)^2 + 4\beta^2 \omega^2 \right)' &= \left( (\omega_0^2 - \omega^2)^2 \right)' + (4\beta^2 \omega^2)' = \\ &= 2(\omega_0^2 - \omega^2)(\omega_0^2 - \omega^2)' + 4\beta^2 (\omega^2)' = \end{aligned}$$



$$= 2(\omega_0^2 - \omega^2)(-2\omega) + 4\beta^2 2\omega = 4\omega(\omega_0^2 - \omega^2 + 2\beta^2) = 0$$

Поскольку  $\omega \neq 0$ , значит,  $(\omega_0^2 + 2\beta^2 - \omega^2) = 0$ . Получаем частоту, на которой вынужденные колебания имеют максимальную амплитуду

$$\omega_p = \sqrt{\omega_0^2 - 2\beta^2}. \quad (47.13)$$

Резонансная частота меньше и частоты собственных колебаний  $\omega_0$ , и частоты затухающих колебаний, вычисляемой по формуле (46.10).

Найдем амплитуду колебаний на резонансной частоте.

$$\begin{aligned} A_{\max} &= \frac{f_0/m}{\sqrt{(\omega_0^2 - \omega_p^2)^2 + 4\beta^2 \omega_p^2}} = \frac{f_0/m}{\sqrt{(\omega_0^2 - \omega_0^2 + 2\beta^2)^2 + 4\beta^2 (\omega_0^2 - 2\beta^2)}} = \\ &= \frac{f_0/m}{\sqrt{(2\beta^2)^2 + 4\beta^2 \omega_0^2 - 4\beta^2 2\beta^2}} = \frac{f_0/m}{\sqrt{4\beta^4 + 4\beta^2 \omega_0^2 - 8\beta^4}} = \frac{f_0/m}{\sqrt{4\beta^2 \omega_0^2 - 4\beta^4}}. \\ A_{\max} &= \frac{f_0/m}{2\beta \sqrt{\omega_0^2 - \beta^2}}. \end{aligned} \quad (47.14)$$

В отсутствие трения амплитуда колебаний при резонансе стремилась бы к бесконечности, а резонансная частота равнялась бы  $\omega_0$ .

Из формулы (47.12) и графика соответствующей функции (рисунок 47.4 нижний) видно, что колебания маятника отстают по фазе от вынуждающей силы. На малых частотах колебания происходят практически в одинаковой фазе, а на больших частотах – в противофазе. При  $\omega = \omega_0$  сдвиг по фазе составляет  $-\pi/2$ .